

### Устойчивость тонкостенных упругопластических конструкций при реализации процессов сложного комбинированного деформирования

д.т.н. проф. Охлопков Н.Л., Черемных С.В.

ТвГТУ

8(4822) 52-63-63, stepan\_1986@bk.ru

*Аннотация.* Рассматривается задача бифуркации тонкостенной круговой цилиндрической оболочки с учетом сложного характера деформирования в момент потери устойчивости при сложном докритическом нагружении осевой сжимающей силой и крутящим моментом в девиаторной плоскости деформаций А.А. Ильюшина  $\mathcal{E}_1 - \mathcal{E}_3$ . Используется условие несжимаемости материала и условие однородности напряженного состояния в оболочке до момента потери устойчивости. Задача решается в геометрически линейной постановке.

*Ключевые слова:* пластичность, устойчивость, сложное нагружение, бифуркация, оболочка.

Для решения задачи бифуркации оболочки при сложном комбинированном докритическом нагружении в каждой точке траектории деформации необходимо знать значения компонент напряженного состояния. Таким образом, задача состоит из двух частей: построение образа процесса нагружения материала и собственно решение задачи бифуркации.

Уравнения связи напряжений и деформаций в момент потери устойчивости оболочки и при построении образа процесса нагружения материала принимаем в соответствии с определяющими соотношениями гипотезы компланарности, которые в скоростях принимают вид [1, 2]:

$$\dot{S}_{ij} = N\dot{\mathcal{E}}_{ij} + (\sigma' - N\tau)\dot{S}_{ij}, \quad (i, j = 1, 2, 3), \quad (1)$$

где:  $\sigma' = \frac{d\sigma}{dS} = P\tau$ ;  $\tau = \cos \mathcal{G}_1$ ;  $\mathcal{E}_{ij} = e_{ij}$ ;  $S_{ij}$  – компоненты тензора-девиатора напряжений;

$\mathcal{E}_{ij}$  – компоненты тензора-девиатора деформаций. Здесь  $\frac{d\sigma}{dS}$ ,  $N$  – определяющие функции пластичности,  $\mathcal{G}_1$  – угол сближения ( $\cos \mathcal{G}_1 = \hat{\sigma} \cdot \hat{p}_1$ ),  $S$  – длина дуги траектории деформации. Символ с точкой наверху означает дифференцирование по обобщенному параметру времени  $\frac{d}{dt} = \frac{d}{dS} \cdot \frac{dS}{dt}$ .

Для определяющих функций пластичности  $N$  и  $\frac{d\sigma}{dS}$  принимаем аппроксимации, предложенные В.Г. Зубчаниновым [1]:

$$N = 2G_p + \left[ 2G - 2G_p \left( \frac{1 - \cos \mathcal{G}_1}{2} \right)^q \right] \frac{d\sigma}{dS} = 2G_k - \left[ 2G + 2G_k \left( \frac{1 - \cos \mathcal{G}_1}{2} \right)^p \right] \quad (2)$$

где:  $G$ ,  $G_k$ ,  $G_p$  – модуль сдвига, касательный и секущий модули сдвига материала соответственно.

Уравнение для определения угла сближения  $\mathcal{G}_1$  имеет вид:

$$\dot{g} = -\frac{\sigma \sin \vartheta_1}{N} - \chi_1, \quad (3)$$

где:  $\sigma$  – модуль вектора напряжений,  $\chi_1$  – кривизна траектории.

Уравнения (1) и (3) имеют вид уравнений задачи Коши, которую решаем методом Рунге-Кутты. За параметр обобщенного времени  $t$  на участках сложной траектории деформирования принимаются различные монотонно возрастающие параметры процесса.

Таким образом, в каждой точке траектории деформаций определяем компоненты напряженного состояния и далее решаем бифуркационную задачу.

Цилиндрическую оболочку считаем «длинной», шарнирно подкрепленной по торцам. Решение задачи бифуркации сводим к решению задачи о собственных числах [1].

В результате окончательно получаем систему алгебраических уравнений:

$$\begin{cases} -\sigma K_* i^2 / g_1 E + i \Omega_1^{**} / 2 g_1 S_* = \lambda_m^2 [\theta + 3 K_* (\Omega_2^{**} - \Omega_1^{**} N_2^* / N_1^*) / 4 g_1], \\ e = -2i / S_* \lambda_m^2 - (\theta_1 \Omega_1^{**} + N_2^* K_*) / N_1^* \end{cases}, \quad (4)$$

где:

$$\begin{aligned} K_* &= \sigma_{11}^* + \sigma_{22}^* r^2 - 2\sigma_{12}^* r, \quad S_* = S_{11}^* r^2 + S_{22}^* + 2S_{12}^* r, \quad \sigma_{ij}^* = \frac{\sigma_{ij}}{\sigma}, \quad S_{ij}^* = \frac{S_{ij}}{\sigma}, \quad r = \frac{n}{\lambda_m}, \\ g_1 &= \frac{D_1}{D} = \frac{3}{2} \left( N_3^* - \frac{N_2^{*2}}{N_1^*} \right), \quad \theta = (1+r^2)^2 - \frac{K_*^2}{2}, \quad \theta_1 = \frac{2(1+r^2)^2}{3S_*^2} - 1, \\ 2G \cdot N_m^* &= \int_{-1}^1 N(z^*)^{m-1} dz^*, \quad 2G \cdot \Omega_m^{**} = \int_{-1}^1 \sigma S^*(z^*)^{m-1} dz^*, \quad z^* = \frac{z}{h}. \end{aligned}, \quad (5)$$

где:  $i = 3R/h$  – гибкость оболочки.

Решение бифуркационной задачи позволяет для заданной комбинации полуволн  $m$ ,  $n$  изогнутого состояния вычислить критическую гибкость оболочки  $i$  в зависимости от значения модуля вектора напряжений  $\sigma$  в момент потери устойчивости.

Интегралы  $\Omega_m^{**}$  и  $N_m^*$  в (5) определяются численно по методу Симпсона. В качестве нулевого приближения на каждом этапе нагружения оболочки используется решение при чистопластической бифуркации, когда излом траектории не учитывается.

Так же расчеты выполнены на основе теории устойчивости А.А. Ильюшина, в которой используются определяющие соотношения теории квазипростых процессов [1].

Для определяющих функций пластичности используются аппроксимации:

$$\begin{cases} N = 2G(1-\omega), \quad P = 2G(1-\lambda), \quad 0 \leq \vartheta_1 \leq \pi/2 \\ N = P = 2G, \quad \pi/2 \leq \vartheta_1 \leq \pi \end{cases}, \quad (6)$$

где:  $\omega$  – параметр пластичности А.А. Ильюшина,  $\lambda$  – параметр разупрочнения.

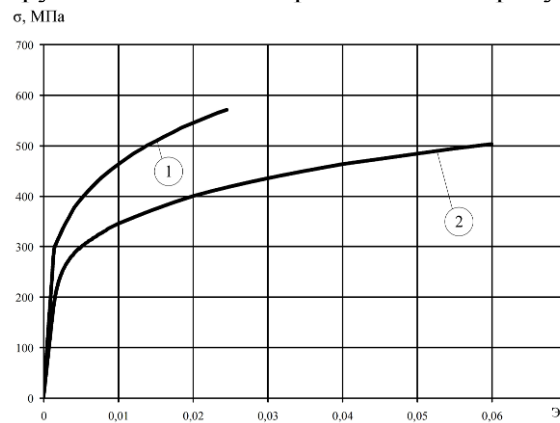
Система алгебраических уравнений задачи о собственных числах принимает вид:

$$\begin{aligned} i^2 \frac{\sigma}{E g_1} \left( -K_* - \frac{E N_1^*}{2\sigma\theta} \lambda_m^4 \right) + i \frac{3}{2} \frac{N_1^* \Phi^*}{g_1 \theta} \lambda_m^2 K_* S_* = (\lambda_m^2 + n^2)^2 - \frac{1}{2} \left( 1 - \frac{g_2}{g_1} \right) K_*^2 + \frac{9}{8} \frac{N_1^* \Phi^{*2}}{g_1 \theta} K_*^2 S_*^2, \\ C\theta = \frac{N_1^*}{2} \lambda_m^2 - \frac{3}{4} \frac{N_1^* \Phi^*}{i} K_* S_* \end{aligned}. \quad (7)$$

Учитывается разгрузка материала в момент бифуркации.

Расчеты сопоставлены с экспериментальными результатами, полученными на автоматизированном комплексе СМ-ЭВМ в лаборатории кафедры «Сопротивление материалов, теории упругости и пластичности» Тверского государственного технического университета. Эксперименты реализованы на тонкостенных круговых цилиндрических оболочках, изготов-

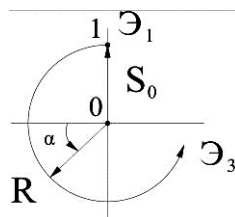
ленных из стали 45 из двух разных партий отгрузки материала. Диаграмма деформирования материала при простом нагружении показана кривой 1 и 2 на рисунке 1.



**Рисунок 1. Диаграмма деформирования образцов из стали 45 при простых процессах**

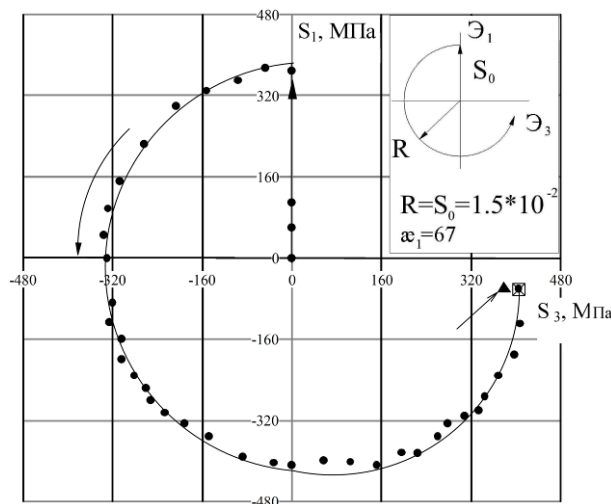
Работа выполняется с целью проверки влияния истории сложного докритического нагружения на критические параметры устойчивости оболочек. Ранее расчеты были выполнены для веера двузвенных прямолинейных ломаных траекторий в девиаторной плоскости деформаций А.А. Ильюшина  $\mathcal{E}_1 - \mathcal{E}_3$ .

Дополнительно, в качестве примера для материала 2 из стали 45, рассмотрена сложная криволинейная траектория, представляющая собой растяжение до заданного уровня  $R$  на первом звене и дальнейший переход на траекторию деформирования постоянной кривизны радиуса  $R$  (рисунок 2).



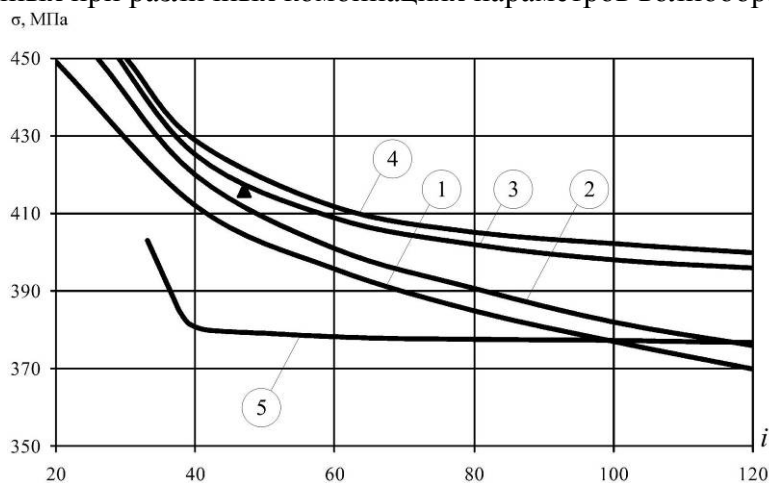
**Рисунок 2. Траектории деформирования образцов из стали 45  
R – радиус дуги окружности**

На рисунке 3 показана траектория нагружения оболочки, соответствующая реализованной траектории деформирования. Сплошная линия отражает решение задачи построения образа процесса нагружения. Момент потери устойчивости в эксперименте и расчетах указан на рисунке стрелками.



**Рисунок 3. Траектория нагружения**

Расчеты выполнены для процесса при  $R = 1.5\%$ . Как показывают эксперимент и расчеты, при данных параметрах процесса потеря устойчивости оболочки реализуется на криволинейной части траектории. На рисунке 4 представлены графики зависимости критических параметров напряжений от гибкости оболочки, построенные как огибающие кривых устойчивости, вычисленных при различных комбинациях параметров волнообразования  $m, n$ .

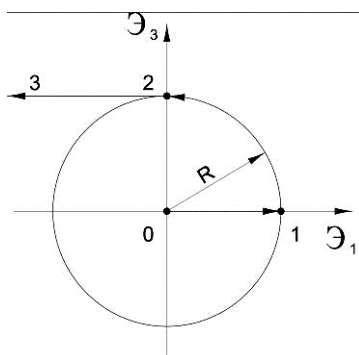


**Рисунок 4. Графики наименьшей гибкости оболочки**

Цифрами на рисунке обозначено: 1, 2 – расчет по теории устойчивости А.А. Ильюшина при чисто пластической бифуркации и с учетом разгрузки материала соответственно; 3 – расчет с учетом сложного нагружения в момент потери устойчивости при использовании для функции  $\frac{d\sigma}{dS}$ , а для функции  $N$  соотношения  $N = 2G(1 - \omega)$ ; 4 – расчет с учетом сложного нагружения в момент потери устойчивости при использовании для определяющих функций пластичности со значениями материальных параметров, входящих в структуру аппроксимаций равными  $p=q=1.0$ ; 5 – то же, при  $p=q=0.5$ . Треугольником на рисунке отмечены экспериментальные результаты.

На рассмотренном процессе реальный учет сложного характера нагружения оболочки в момент потери устойчивости позволяет уточнить решение в сопоставлении с расчетами, например по теории устойчивости А.А. Ильюшина.

Так же в качестве примера для материала 1 из стали 45 рассмотрены трехзвенные траектории, представляющие собой: растяжение до заданного уровня  $R$  на первом звене; 1,25 витка траектории постоянной кривизны радиуса  $R$  на втором звене; сжатие до потери устойчивости при поддержании постоянного уровня деформации кручения  $\Theta_3$  на третьем звене (рисунок 5).

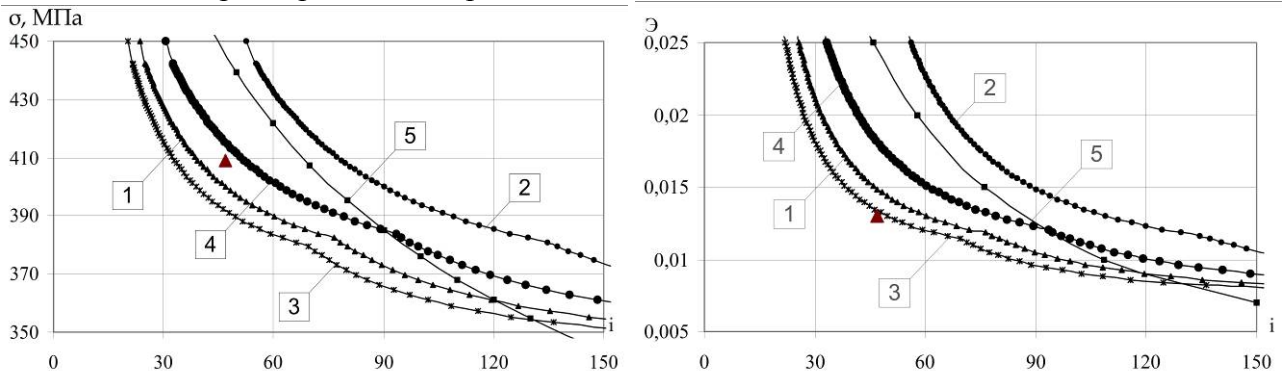


**Рисунок 5. Траектории деформирования образцов из стали 45**

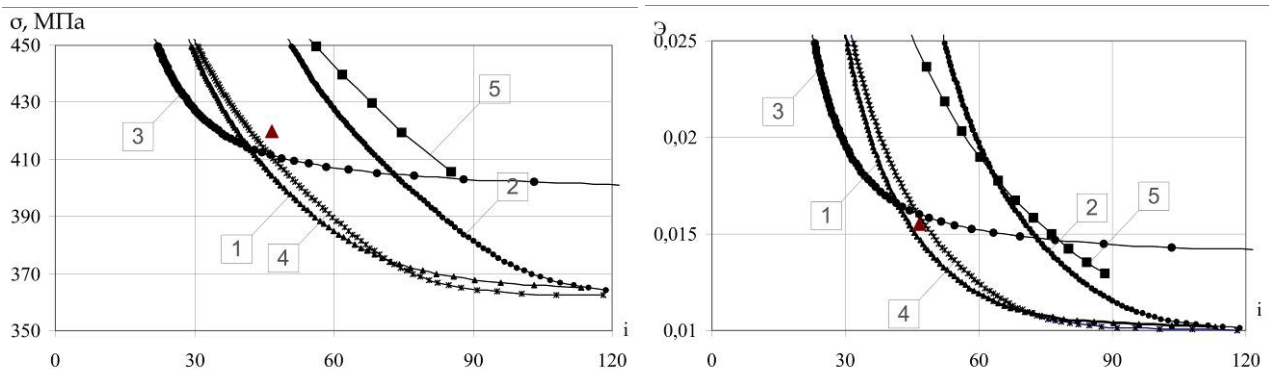
Расчеты выполнены для нескольких процессов при  $R = 0.5, 1$  и  $1.5\%$ . При данных параметрах процесса потеря устойчивости оболочки на криволинейной части траектории не происходит. Показатели степеней  $p$  и  $q$ , входящие в состав аппроксимаций (2) определяю-

щих функций пластичности при теоретическом построении образа процесса нагружения материала принимались  $p=0.6$  и  $q=1.35$ .

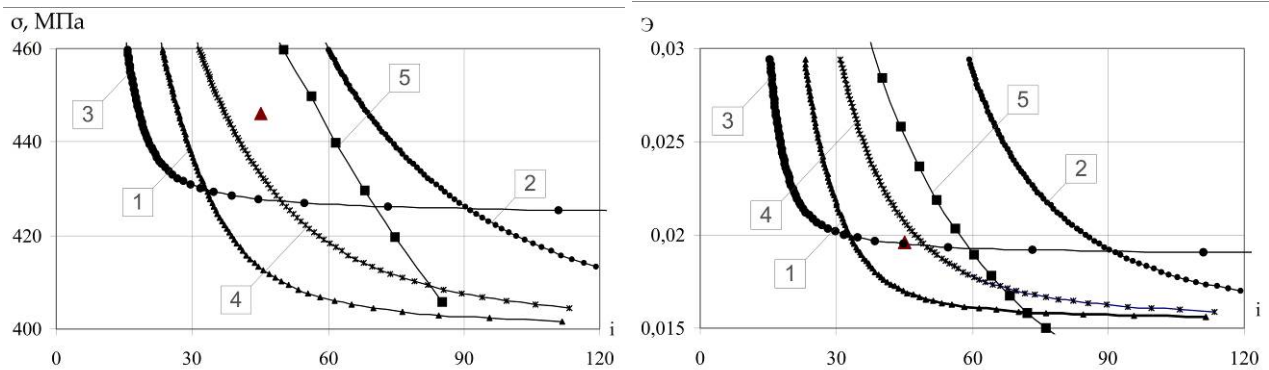
На рисунках 6, 7 и 8 приведены графики критических параметров напряжений и деформаций, построенные как огибающие кривых устойчивости, вычисленных при различных комбинациях параметров волнообразования  $m, n$ .



**Рисунок 6. Критические параметры напряжений и деформаций ( $R=0,5\%$ )**



**Рисунок 7. Критические параметры напряжений и деформаций ( $R=1\%$ )**



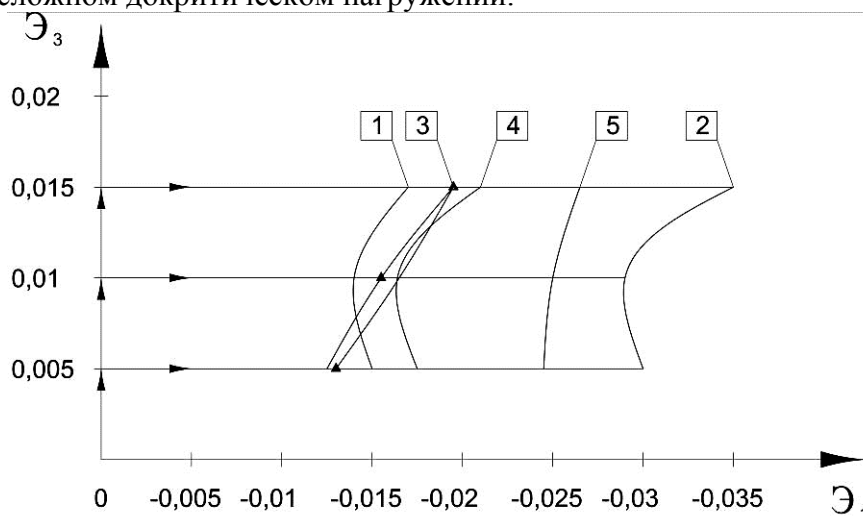
**Рисунок 8. Критические параметры напряжений и деформаций ( $R=1\%$ )**

Цифрами на рисунках обозначено: 1 – расчет, выполненный с учетом сложного характера нагружения в момент потери устойчивости при показателях степеней  $p=0.6$  и  $q=1.35$  (соответствуют значениям, принятым при решении задачи построения образа процесса нагружения); 2 – расчет при показателях степеней  $p=1$  и  $q=1$ ; 3 – расчет при показателях степеней  $p=0.55$  и  $q=1,35$ ; 4 – расчет при  $p=0.7$  и  $q=1.35$ ; 5 – расчет по теории устойчивости А.А. Ильюшина с учетом разгрузки материала в момент потери устойчивости. Треугольниками отмечены экспериментальные результаты.

На рисунке 9 в девиаторной плоскости деформаций показаны зоны устойчивых состояний оболочки. Цифры и условные обозначения соответствуют предыдущим рисункам.

Анализ полученных результатов позволяет сделать вывод, что определяющие соотношения гипотезы компланарности и аппроксимации определяющих функций пластичности

В.Г. Зубчанинова, учитывающие изменение угла сближения в процессе деформирования, позволяют получить достоверное решение задачи бифуркации круговой цилиндрической оболочки при сложном докритическом нагружении.



**Рисунок 9. Зоны устойчивых состояний в плоскости  $\mathcal{E}_1 - \mathcal{E}_3$  для оболочек из стали 45**

На рассмотренных процессах реальный учет сложного характера нагружения оболочки в момент потери устойчивости позволяет существенно уточнить решение в сопоставлении с расчетами, например по теории устойчивости А.А. Ильюшина, которые дают завышенные значения критических напряжений и деформаций.

Показатели степеней  $p$  и  $q$  в аппроксимациях определяющих функций пластичности при сложных докритических процессах не могут приниматься равными  $p=q=1$  и зависят от реализуемой траектории. При этом влияние параметра  $p$  на расчетные значения критических напряжений и деформаций проявляется в большей степени, чем изменение параметра  $q$ .

Расчеты выполнены также для ряда иных траекторий сложного докритического нагружения [3].

#### Литература

1. Зубчанинов В.Г. Устойчивость и пластичность. Т. 1. Устойчивость / В.Г. Зубчанинов. – М.: Физматлит, 2007. – 448 с.
2. Зубчанинов В.Г. Математическая теория пластичности: Монография / В.Г. Зубчанинов. – Тверь: ТГТУ, 2002. – 300 с.
3. Зубчанинов В.Г. Экспериментальная пластичность: Монография. Книга 1. Процессы сложного деформирования / В.Г. Зубчанинов, Н.Л. Охлопков, В.В. Гараников. – Тверь: ТГТУ, 2003. – 172 с.